

## برآورد قدرت انفجار هسته‌ای زیرزمینی ۲۸ مه ۱۹۹۸ پاکستان

عبدالرحیم جواهریان<sup>\*</sup>، احمد سدیدخوار<sup>\*</sup>، مصطفی نقی‌زاده<sup>\*</sup> و مازیار حقیقی<sup>\*</sup><sup>\*</sup>موسسه زموفیزیک دانشگاه تهران، صندوق پستی ۱۴۶۶۱-۱۵۰

دربافت مقاله: ۸۴/۱۰/۲۳ پذیرش مقاله: ۸۲/۱۰/۲۳

## چکیده

برآورد قدرت انفجارهای هسته‌ای زیرزمینی از راه دور با بررسی فازهای مختلف لرزه‌نگاشتها امکان‌پذیر است. بدین منظور لازم است ارتباط بین کمیت‌های لرزه‌ای انفجارها و قدرت‌های معلوم آنها تعیین شود تا بتوان با استفاده از روابط به دست آمده، قدرت نامعلوم یک انفجار را برآورد نمود. مهم‌ترین کمیت‌های لرزه‌ای در این خصوص عبارت‌انداز: دامنه موج ثبت شده و بزرگی محاسبه شده از امواج حجمی ( $m_b$ ) و یا امواج سطحی ( $M_{sf}$ ) از آن‌جا که قبل از انفجار ۲۸ مه ۱۹۹۸ پاکستان، انفجار هسته‌ای دیگری در این کشور انجام نشده بود، بنابراین روابطی بین کمیت‌های لرزه‌ای انفجارها و قدرت آنها برای این منطقه وجود نداشت. بنابراین، برای برآورد قدرت انفجار یادشده، از استنگاه‌های شبکه لرزه‌نگاری بلند دوره ایران (LPA)، تنها راه، استفاده از روابط بین کمیت‌های لرزه‌ای و قدرت انفجارهای نزدیک‌ترین منطقه یعنی سمیپلاتینسک (STS) واقع در شرق قزاقستان است. بدین منظور ابتدا روابط بین کمیت‌های لرزه‌ای انفجارهای STS در ایلیا و قدرت این انفجارها تعیین شد. سپس با استفاده از این روابط قدرت انفجار پاکستان برآورد شد. امواج P و ریلی لرزه‌نگاشتهای ثبت شده در ایلیا مربوط به انفجارهای STS که قدرت آنها را ورجینو (1989)، نوربر و همکاران (1993) و استیونس و مورفی (2001) اعلام کردند، مورد بررسی قرار گرفت.

در این مقاله، با استفاده از دامنه موج P، بزرگی امواج سطحی ( $m_b$ )، بزرگی امواج سطحی در حیطه زمان ( $M_{sf}$ ) و بزرگی امواج سطحی در حیطه بسامد ( $M_{sf}$ ) لرزه‌نگاشتهای شبکه بلند دوره ایران چهار رابطه بین کمیت‌های لرزه‌ای انفجارهای STS در ایلیا و قدرت آنها به دست آمد و از این روابط قدرت انفجار پاکستان برآورد شد. روابط به دست آمده عبارت‌انداز:

$$\log(Y) = 2.80 + 1.21 \log(A)$$

$$m_b = 1.05 \log(Y) + 3.90$$

$$M_{sf} = 0.69 \log(Y) + 2.36$$

$$M_{sf} = 0.80 \log(Y) + 2.68$$

که در آنها، A دامنه موج P بر حسب میکرون و Y قدرت انفجار بر حسب کیلوتون تی ان تی است. نتایج به دست آمده از برآورد قدرت انفجار ۲۸ مه ۱۹۹۸ پاکستان از ۴ رابطه فوق برای محيط‌های انفجاری آبرفت، توف، نمک و گرانیت تطابق خوبی با یکدیگر دارند. میانگین قدرت این انفجار حدود ۱۴ کیلوتون با خطای  $\pm 20$  بدرصد به دست آمد.

**کلیدواژه‌ها:** برآورد قدرت انفجارهای هسته‌ای زیرزمینی، سمیپلاتینسک، پاکستان، شبکه لرزه‌نگاری بلند دوره ایران، موج P، موج ریلی

## ۱ مقدمه

قدرت انفجارهای هسته‌ای زیرزمینی از فاصله‌های دور با استفاده از روش‌های لرزه‌ای برآورد می‌شود. بدین منظور لازم است رابطه بین کمیت‌های مختلف لرزه‌ای و قدرت انفجارهای هسته‌ای زیرزمینی تعیین شود. یکی از مهم‌ترین کمیت‌ها، دامنه موج ثبت شده روی لرزه‌نگاشتهاست که این خود تابعی از قدرت انفجار، مشخصات محیط پریرگیرنده محل انفجار، فاصله محل انفجار تا استنگاه لرزه‌نگاری، ضریب جذب زمین، مشخصات دستگاه‌های

KS36000 هستند، درون چاه نیمه عمیق قرار دارند و با توجه به فیلترهای موجود قابلیت تولید لرزه‌نگاشتهای کوتاه دوره و بلند جدول ۱. تغییرات ضرب تبدیل کل انرژی انفجار هسته‌ای زیرزمینی به انرژی لرزه‌ای برای محیط‌های مختلف انفجار (بلت، ۱۹۷۶).

ضریب تبدیل انرژی	محیط انفجار
0.001	آبرفت خشک
0.002	آبرفت اشباع با آب
0.003	توف
0.008	نمک
0.01	گرانیت

دوره با نسبت سیگنال به نویه بالا را دارند. بنابراین برای برآورد قدرت انفجارهای هسته‌ای زیرزمینی مناسب‌اند. مختصات استگاه‌های ایلپا در جدول ۲ آمده است. در این مقاله، ابتدا روابط مختلف بین کمیت‌های لرزه‌ای ایلپا و قدرت انفجارهای گزارش شده STS به دست آمد، سپس با استفاده از این روابط، قدرت انفجار هسته‌ای ۲۸ مه ۱۹۹۸ پاکستان برآورد شد.

جدول ۲. مختصات استگاه‌های ایلپا (عکشه و همکاران، ۱۹۷۶).

Site No	Lat. (N)	Long. (E)	Elev. (m)
1	35 24' 58.3"	50 41' 19.5"	1,346.6
2	35 39 46.1	50 53 51.5	1,172.1
3	35 28 34.5	51 01 25.5	1,106.4
4	35 14 19.3	50 54 04.2	1,373
5	35 12 46.2	50 34 52.0	1,350.2
6	35 28 25.2	50 25 32.2	1,540.2
7	35 42 10.1	50 36 32.0	1,305.1
CRS	35 45 10.1	51 23 19.6	1,461.7

## ۲ ارتباط بین کمیت‌های لرزه‌ای ایلپا و قدرت انفجارهای STS

برای تعیین ارتباط بین کمیت‌های لرزه‌ای لرزه‌نگاشتهای ایلپا و قدرت انفجارهای STS از چهار روش استفاده شد که عبارت‌اند از: دامنه و بزرگی موج  $\Delta P$  بزرگی امواج سطحی در حیطه زمان و بزرگی امواج سطحی در حیطه بسامد که به آنان اشاره می‌شود.

می‌رسد که مناسب باشد برای این منظور از چند روش استفاده شود. به‌حال از هر روش که استفاده شود آگاهی از نوع سنگ محیط چشمۀ انفجار در قدرت برآورد شده یا کل انرژی آزاد شده نقش زیادی دارد.

میزان تبدیل کل انرژی آزاد شده از یک انفجار هسته‌ای زیرزمینی به انرژی لرزه‌ای، به عوامل مختلف بستگی دارد و از مهم‌ترین آنها نوع رسوبات یا سنگ‌هایی است که انفجار در آنها انجام شده است. اگر انفجار در سنگ‌های گرانیت و نمک صورت پذیرد، درصد تبدیل انرژی انفجار به انرژی لرزه‌ای زیاد و اگر در آبرفت و توف صورت پذیرد، درصد تبدیل کم خواهد بود (بلت، ۱۹۷۶). رابطه بین کل انرژی یک انفجار هسته‌ای زیرزمینی که از طریق رادیوشیمیایی بدست می‌آید و انرژی لرزه‌ای حاصل از آن در محیط‌های مختلف انفجار از سوی بلت (۱۹۷۶) مطابق رابطه (۱) ارائه شده است.

$$E_s = \eta E_c \quad (1)$$

که در آن،  $E_s$  و  $E_c$  به ترتیب کل انرژی انفجار و انرژی لرزه‌ای حاصل از آن و  $\eta$  ضریب تبدیل انرژی است که تغییرات آن در جدول ۱ آمده است. والاس (۱۹۹۸) اعلام داشته است که جنس محیط انفجار هسته‌ای زیرزمینی ۲۸ مه ۱۹۹۸ پاکستان از نوع محیط سخت است.

حقیقین زیادی با استفاده از روابط شناخته شده بین کمیت‌های لرزه‌ای و قدرت‌های گزارش شده، مناطق دیگر قدرت انفجار هسته‌ای زیرزمینی ۲۸ مه ۱۹۹۸ پاکستان را برآورد کرده‌اند که از آن جمله می‌توان به والاس (۱۹۹۸) اشاره کرد. در مورد انفجار ۲۸ مه ۱۹۹۸ پاکستان چون پیش از این در این ناحیه انفجار هسته‌ای انجام نشده بود، لذا تنها راه برآورد قدرت از روش لرزه‌ای، استفاده از روابط مربوط به نواحی دیگر است. در ایران سه استگاه فعال لرزه‌نگاری بلند دوره ایران (ILPA) (انفجار یادشده را ثبت کردند. دستگاه‌های لرزه‌سنچ ایلپا که از نوع

برای هر انفجار قدرت واقعی آن باید از طرف انجام دهنده گان گزارش شود و دامنه های ثبت شده یا بزرگی های محاسبه شده از راه لرزه نگاشته ای تعيین شود. سپس نموداری تهیه می شود که روی محور افقی لگاریتم قدرت به کیلوتن و روی محور قائم آن بزرگی (یا لگاریتم دامنه) قرار می گیرد. آنگاه برای هر انفجار میانگین، بزرگی های (یا دامنه های) به دست آمده از همه ایستگاه ها بر حسب لگاریتم قدرت، رسم می شود و این کار برای همه انفجارها انجام می شود. با این حساب، به تعداد انفجارها، روی نمودار نقطه خواهد بود. این نقاط دارای وابستگی خطی هستند، به این معنا که این دو کمیت مستقل از یکدیگر نیستند. پس می توان یکتابع به دست آورد که این دو را به یکدیگر ارتباط دهد. تابعی که این دو کمیت را به یکدیگر ارتباط می دهد تابعی خطی با فرمول عمومی زیر است (سیکا و همکاران، ۲۰۰۰)

$$m_b = a + b \log(Y) \quad (3)$$

که در آن  $a$  و  $b$  دو ضریب ثابت برای هر محل و  $\gamma$  قدرت انفجار بر حسب کیلوتن تی ان تی هستند. بعد از رسم بزرگی ها (یا دامنه ها) در برابر لگاریتم قدرت ها، با استفاده از روش حداقل مربعات، ضرایب  $a$  و  $b$  به دست می آیند.  $a$  و  $b$  ثابت هایی هستند که بیان کننده اثر محل انفجار، مسیر انتشار موج و غیره اند. ضریب  $b$  در اکثر محیط ها در محدوده تقریبی باریکی از  $0.75$  تا  $0.85$  تغییر می کند که به عوامل یاد شده بستگی دارد (سیکا و همکاران، ۲۰۰۰). با به دست آوردن این ضرایب، رابطه بزرگی - قدرت (یا دامنه - قدرت)، مربوط به منطقه موردنظر به دست می آید. حال اگر در این منطقه، انفجاری صورت گیرد، بدون داشتن قدرت انفجار، فقط از راه بزرگی (یا دامنه) و قرار دادن بزرگی (یا دامنه) آن در رابطه به دست آمده برای این منطقه، می توان قدرت انفجار را برآورد کرد.

به دلیل متفاوت بودن رابطه بزرگی - قدرت یا دامنه - قدرت برای محیط های انفجار مختلف، از رابطه مربوط به هر منطقه باید

## ۱-۲ استفاده از موج P در برآورد قدرت

برای به دست آوردن رابطه دامنه - قدرت یا بزرگی - قدرت با استفاده از موج P، راه های مختلف وجود دارد که به صورت کلی شامل استفاده از حیطه زمان و حیطه بسامد است. در این مطالعه، با توجه به این که داده های مربوط به انفجارهای STS در ایپا آنالوگ بودند، بنابراین فقط استفاده از حیطه زمان امکان پذیر بود. در این روش ابتدا بزرگی انفجار در حیطه زمان محاسبه می شود. نحوه به دست آوردن بزرگی به این صورت است که دامنه بیشینه برای چند ثانیه اول موج P به همراه دوره تناوب ظاهری آن از روی لرزه نگاشت قرائت می شود. سپس با استفاده از رابطه (۲) مقدار بزرگی محاسبه می شود (لای و والاس، ۱۹۹۵).

$$m_b = \log\left(\frac{A}{T}\right) + B(\Delta, h) \quad (2)$$

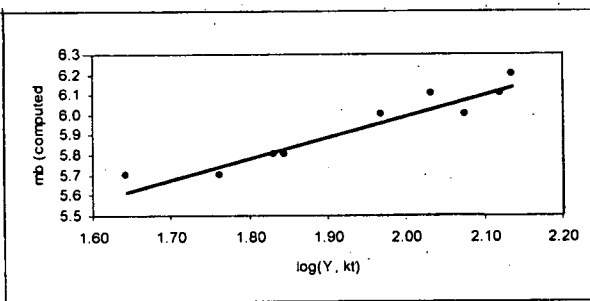
که در آن،  $A$  دامنه بیشینه (peak to peak) بر حسب نانومتر که اثر بزرگ نمایی دستگاه برای دوره تناوب  $T$  از روی آن حذف شده است،  $T$  دوره تناوب ظاهری بر حسب ثانیه و  $B(\Delta, h)$  تصحیح مربوط به اثر فاصله است که در برگیرنده دو عامل گسترش هندسی و پدیده جذب در فاصله چشمکه تا گیرنده است. با توجه به این که هدف به دست آوردن انرژی حاصل از انفجار است، بنابراین تصحیح فاصله ضروری است. دانشمندان زیادی  $B(\Delta, h)$  را به دست آورده اند که مهم ترین آنها را ویث و کلاوسون (۱۹۷۲) ارائه کرده اند.

از آنجایی که مقدار کمی از انرژی یک انفجار هسته ای به امواج کشسان لرزه ای تبدیل می شود و بقیه انرژی آن به صورت های دیگر انرژی تبدیل می شود، بنابراین نمی توان فقط با محاسبه بزرگی به کل انرژی حاصل از انفجار (قدرت) دست یافت. حال نوبت آن رسیده است که نحوه به دست آوردن انرژی کل از راه بزرگی (یا دامنه) بیان شود. برای نیل به این هدف باید محل انفجار را با استفاده از چندین انفجار با قدرت ها و عمق های متفاوت کالیبره کرد. نحوه انجام این کار به این صورت است که

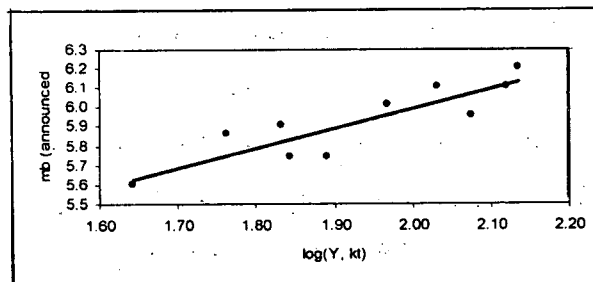
جدول ۳. فهرست انفجارهای STS برای محاسبه رابطه برآورد قدرت با استفاده از موج P

NO.	*Year	*Day	**Yield pub.	mb com.	*mb pub.
1	1977	248	78	5.8	5.7
2	1978	241	119	6	6.0
3	1978	308	44	5.7	5.6
4	1978	162	58	5.7	5.9
5	1979	336	93	6	6.0
6	1979	357	137	6.2	6.2
7	1988	125	132	6.1	6.1
8	1988	258	108	6.1	6.1
9	1988	352	68	5.8	5.9
10	1989	292	70	5.8	5.7

\* یانگ و همکاران (۲۰۰۰) و \*\*استیونس و مورفی (۲۰۰۱)



شکل ۱. ارتباط بین  $m_b$  گزارش شده و قدرت های گزارش شده مربوط به ۱۰ انفجار STS. اطلاعات مربوط به  $m_b$  از سوی یانگ و همکاران (۲۰۰۰) و قدرت انفجارها از سوی استیونس و مورفی (۲۰۰۱) گزارش شده است که در جدول ۳ آمده است.



شکل ۲. ارتباط بین  $m_b$  محاسبه شده از روی لرزه نگاشتهای مولفه قائم کوتاه دوره ایستگاه ۱ ایلپا و قدرت های گزارش شده مربوط به ۱۰ انفجار STS بر اساس فاز b محاسبه شده است. قدرت انفجارها را استیونس و مورفی (۲۰۰۱) گزارش کرده اند که در جدول ۳ آمده است.

برای آن منطقه استفاده شود. در غیر این صورت ممکن است خطای بزرگی در محاسبه قدرت صورت گیرد. علت این امر مربوط به این است که عوامل اثر گذار (جذب، ساختمان پوسته و گوشته بالایی، تخلخل در محیط انفجار و ...) از يك منطقه به منطقه دیگر متفاوت است.

### ۱-۱-۲ استفاده از $m_b$

ابتدا ۲۵ انفجار STS که  $m_b$  و قدرت آنها را استیونس و مورفی (۲۰۰۱) گزارش کرده اند انتخاب شد. سپس لرزه نگاشتهای مولفه قائم دوره کوتاه ایستگاه ۱ ایلپا که بهتر از سایر ایستگاهها این انفجارها را ثبت کرده بود، مورد بررسی قرار گرفت. در این مطالعه آن لرزه نگاشتهایی مورد استفاده قرار گرفتند که نسبت سیگنال به نویه آنها بیشتر از ۲ بود. فهرست این انفجارها در جدول ۳ آمده است، قدم بعدی محاسبه فاصله بین ایستگاه ۱ ایلپا و منطقه STS است که در مختصات کروی فاصله بین این دو محل حدود ۲۷ درجه است. محاسبه فاصله دو مزیت دارد. اول این که برای بدست آوردن  $B(\Delta, h)$  مورد نیاز است و دوم این که می توان دریافت که فازهای ثبت شده در ایستگاه مورد نظر کدام هستند. با توجه به این مطالب از جدول های مربوطه، مقدار  $B(\Delta, h)$  برای ۲۷ درجه  $\frac{3}{25}$  به دست آمد و اولین فاز دریافتی موج  $P$  مستقیم عبوری از گوشته تعیین شد. با استفاده از دامنه  $m_b$  peak to peak فاز b (بچ، ۱۹۸۲) و انجام تصحیحات لازم مربوط به این انفجارها محاسبه شد. رابطه بزرگی - قدرت برای دو حالت بزرگی گزارش شده و بزرگی محاسبه شده طی روابط (۴) و (۵) به دست آمد که این ارتباط در شکل های ۱ و ۲ دیده می شود.

$$m_b = 1.02 \log(Y) + 3.96, R^2 = 0.77 \quad (4)$$

$$m_b = 1.05 \log(Y) + 3.90, R^2 = 0.89 \quad (5)$$

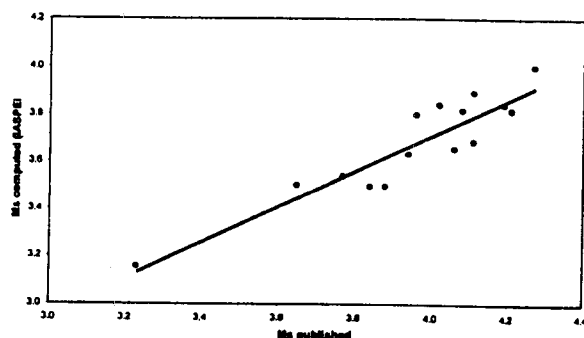
### ۱-۲-۲ استفاده از $M_{st}$

از بین ۵۶ لرزه‌نگاشت مولفه قائم بلند دوره، ۱۵ لرزه‌نگاشت که دارای بزرگنمایی مناسب بودند و نیز روی آنها اثری از تداخل امواج دیگر مشاهده نمی‌شد، انتخاب شدند. سپس بیشینه دامنه به همراه دوره تناوب آن از روی لرزه‌نگاشت انتخابی قرائت شد. به منظور تصحیح گسترش هندسی، فاصله بین ایستگاه لرزه‌نگاری ایلپا از انفجار STS محاسبه شد. با اعمال تصحیح مربوط به بزرگنمایی دستگاه ثبات دامنه واقعی جابه‌جایی به دست آمده با داشتن دامنه جابه‌جایی  $2A$  بر حسب نانومتر، دوره تناوب دامنه غالب بر حسب ثانیه و  $\Delta$  فاصله ایستگاه ایلپا از رومرکز انفجار STS بر حسب درجه، از دو فرمول زیر برای تعیین بزرگی امواج سطحی در حیطه زمان استفاده شد.

$$M_{st} = \log\left(\frac{A}{T}\right) + 1.66 \log(\Delta) + 0.3 \quad (8)$$

$$M_{st} = \log\left(\frac{A}{T}\right) + \frac{1}{3} \log(\Delta) + \frac{1}{2} \log(\sin(\Delta)) + 0.0046\Delta + 2.370 \quad (9)$$

رابطه‌های (۸) و (۹) به ترتیب از سوی IASPEI و رضاپور و پیرس (۱۹۹۸) ارائه شده‌اند (استیونس و مورفی، ۲۰۰۱).



شکل ۳. مقایسه بزرگی امواج سطحی محاسبه شده از رابطه (۸) با بزرگی امواج سطحی گزارش شده از سوی استیونس و مورفی (۲۰۰۱).

بزرگی‌های محاسبه شده از لرزه‌نگاشت‌های مولفه قائم بلند دوره مجموعه ایستگاه‌های ۱، ۲ و ۳ ایلپا و بزرگی گزارش شده از سوی استیونس و مورفی (۲۰۰۱) در جدول ۴ آورده شده است.

### ۲-۱-۲ استفاده از بیشینه دامنه موج $P$

جوامربان و نوروزیان (۱۳۷۳) با اندازه‌گیری بیشینه دامنه موج  $P$  لرزه‌نگاشت‌های ایلپا مربوط به انفجارهای STS که قدرت آنها را ورجینو (۱۹۸۹) گزارش کرده است، رابطه (۶) را براساس کم‌ترین مربعات بعدست آوردند.

$$\log(Y) = 2.63 + 1.24 \log(A) \quad (6)$$

که در آن،  $Y$  قدرت انفجار بر حسب کیلوتن و  $A$  بیشینه دامنه موج  $P$  مجموع ایستگاه‌های ۱، ۲ و ۳ بر حسب میکرون است. براساس فهرست ۱۱ انفجار STS که نوربر و همکاران (۱۹۹۳) آن را منتشر کرده‌اند، با قرائت بیشینه دامنه موج  $P$  ایستگاه ۱ ایلپا و اعمال تصحیحات لازم، نقاط بیشتری نسبت به آنچه که جوامربان و نوروزیان (۱۳۷۳) انجام داده بودند در این مطالعه بدست آمد که نتیجه آن در رابطه (۷) آمده است.

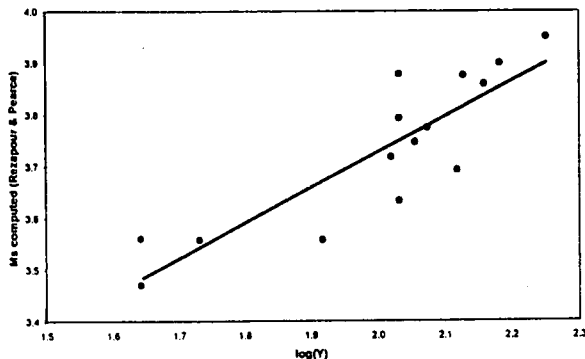
$$\log(Y) = 2.80 + 1.21 \log(A) \quad (7)$$

### ۲-۲ استفاده از موج ریلی در برآورد قدرت

یکی دیگر از روش‌های برآورد قدرت انفجارهای هسته‌ای زیرزمینی، یافتن روابطی بین بزرگی امواج سطحی و قدرت انفجار است. محققین نشان داده‌اند که زمین‌شناسی محل انفجار، دمای پوسته پایینی، مشخصات جبهه بالایی زیر محل انفجار بر تضعیف دامنه موج تراکمی تاثیر اساسی دارند. در حالی که این عوامل تاثیر کم‌تری بر دامنه موج ریلی دارند. بنابراین، تعیین رابطه بزرگی موج ریلی و قدرت انفجار هسته‌ای برای برآورد قدرت انفجارهای هسته‌ای نامعلوم مناسب است. بچ (۱۹۸۲) نشان داد که بزرگی موج ریلی به دست آمده در حیطه بسامد ( $M_{se}$ ) نسبت به بزرگی موج ریلی در حیطه زمان ( $M_w$ ) دارای خطای میانگین کم‌تری به منظور برآورد قدرت انفجارهای هسته‌ای است. بنابراین از هر دو روش در این مطالعه استفاده شده است.

تصحیح ژرفای تقریباً برابر  $0.008 \text{ Ah} / \text{h}$  (بر حسب کیلومتر) است. جواهریان و سدیدخوی (۱۳۷۴) با محاسبه  $M_{sf}$  انفجارهای که ایستگاههای ایلپا ثبت کردند، رابطه (۱۲) را به منظور برآورد قدرت این انفجارها بدست آوردند.

$$M_{sf} = 0.80 \log(Y) + 2.68 \quad (12)$$



شکل ۵. ارتباط بین بزرگی امواج سطحی و قدرت انفجارهای STS. بزرگی امواج سطحی با استفاده از رابطه (۹) از لرزه‌نگاشتهای مولفه قائم بلند دوره مجموع ایستگاههای ۱ تا ۳ ایلپا محاسبه شده است. اطلاعات مربوط به قدرت از سوی استیونس و مورفی (۲۰۰۱) (۲۰۰۱) گزارش شده است که در جدول ۴ آمده است.

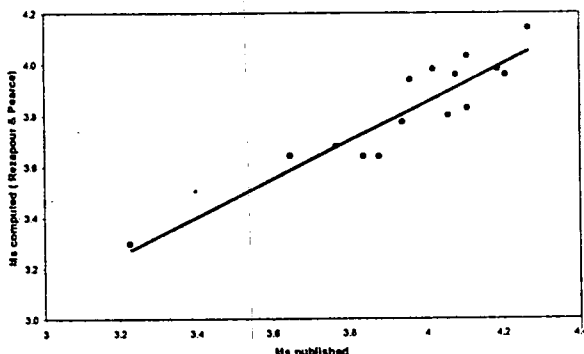
جدول ۴. بزرگی امواج سطحی محاسبه شده از روابط (۸) و (۹) و مقایسه آنها با بزرگی امواج سطحی گزارش شده از سوی استیونس و مورفی (۲۰۰۱).

No	*year	*day	**Pub. Yield	Ms (8)	Ms (9)	**Ms pub.
1	1977	149	44	3.33	3.47	3.11
2	1978	241	119	3.63	3.77	3.48
3	1978	308	44	3.42	3.56	3.65
4	1979	216	153	3.76	3.90	4.02
5	1979	230	179	3.81	3.95	3.74
6	1979	336	93	3.81	3.95	4.11
7	1979	357	137	3.46	3.60	3.77
8	1982	115	145	3.72	3.86	3.96
9	1983	163	138	3.92	4.06	4.27
10	1983	333	101	3.07	3.21	3.23
11	1984	50	49	3.74	3.88	4.08
12	1984	89	83	3.42	3.56	3.88
13	1987	107	86	3.92	4.06	4.05
14	1988	125	132	3.55	3.69	3.94
15	1989	43	63	3.76	3.90	4.19

\*بانگ و همکاران (۲۰۰۰) و \*\*استیونس و مورفی (۲۰۰۱).

مقادیر بدست آمده از روابط (۸) و (۹) با مقادیر گزارش شده مقایسه و نتیجه به ترتیب در شکل‌های ۳ و ۴ نشان داده شده‌اند. با توجه به جدول ۴ و شکل‌های ۳ و ۴ ملاحظه می‌شود که بزرگی امواج سطحی بدست آمده از رابطه (۹)، دارای ضریب همبستگی بیشتری نسبت به بزرگی امواج سطحی بدست آمده از رابطه (۸) است. بنابراین در تعیین رابطه برآورد قدرت انفجارهای STS به کمک موج ریلی ایستگاههای ایلپا، از رابطه (۹) به منظور تعیین استفاده شده است. پس از محاسبه  $M_{st}$  مربوط به ۱۵ انفجار جدول ۳ و در نظر گرفتن قدرت‌های گزارش شده از سوی استیونس و مورفی (۲۰۰۱) رابطه  $M_{st}$  و  $Y$  با برازش بهترین خط براساس کمترین مربعات، مطابق رابطه (۱۰) و شکل ۵ بدست آمد.

$$M_{st} = 0.69 \log(Y) + 2.36, R^2 = 0.76 \quad (10)$$



شکل ۶. مقایسه بزرگی امواج سطحی محاسبه شده از رابطه (۹) با بزرگی امواج سطحی گزارش شده از سوی استیونس و مورفی (۲۰۰۱).

#### ۲-۲-۲ استفاده از $M_{sf}$

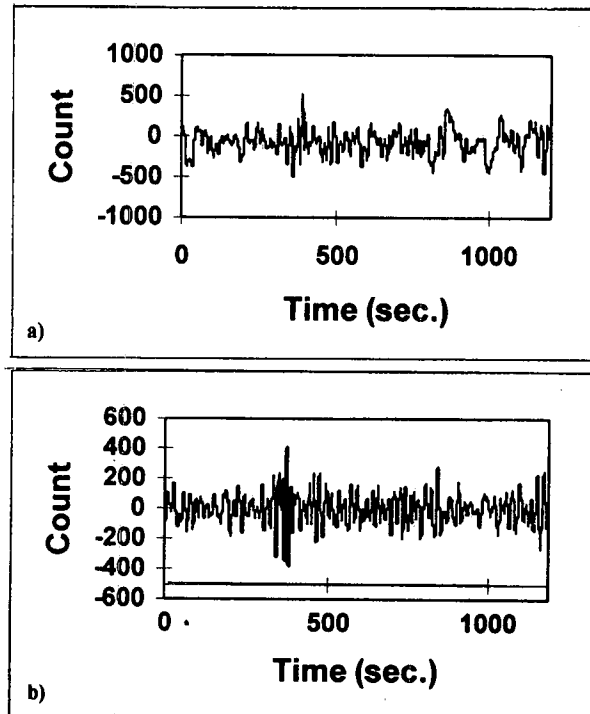
بزرگی  $M_s$  در حیطه بسامد ( $M_{sf}$ ) پس از تبدیل فوریه مولفه قائم لرزه‌نگاشت دوره بلند و تعیین بیشینه طیف دامنه لرزه‌نگاشت و استفاده از رابطه (۱۱) بدست می‌آید (مارشال و بشام، ۱۹۷۲)

$$M_{sf} = \log(S) + B(\Delta) + P(T) + A(h) \quad (11)$$

که در آن  $S$  بیشینه طیف دامنه لرزه‌نگاشت بر حسب نانومتر،  $\Delta$  تابع تصحیح فاصله برای مقادیر مختلف  $\Delta$  بر حسب درجه،  $P(T)$  تابع تصحیح مسیر به مثابه تابعی از دوره بر حسب ثانیه و  $A(h)$  تابع

لرزه‌نگاشت‌ها مورد پردازش قرار گرفتند. به طور کلی خروجی یک دستگاه لرزه‌نگاری نتیجه هم‌آیینه‌گی ورودی به لرزه‌سنج با پاسخ یکه دستگاه لرزه‌نگاری در حیطه زمان است که در اینجا با توجه به مطالعات انجام شده از سوی یمینی‌فرد (۱۳۷۵) این پردازش صورت پذیرفت. همچنین با توجه به این‌که دامنه جابه‌جایی زمین در اثر زلزله‌ها و انفجارهای هسته‌ای دور، بسیار کوچک است، هر دستگاه لرزه‌نگاری یک اثر تقویت روی جابه‌جایی ورودی اعمال می‌کند که ضرورت دارد قبل از هرگونه محاسبه‌ای حذف شود. میزان تقویت ایستگاه‌های ایلپا در قسمت کوتاه دوره با ۲۴ دسی‌بل برابر ۱۴۲۵۱۰ است (نبی‌بیدهندی، ۱۳۷۰). شکل ۶ پس از حذف اثر دستگاه اندازه‌گیری و میزان تقویت اعمال شده بر شکل ۶a را نشان می‌دهد.

با قرائت دامنه فاز b، مولفه قائم لرزه‌نگاشت کوتاه دوره ایستگاه ۱ ایلپا مربوط به انفجار پاکستان و انجام تصحیحات لازم روی آن  $m_b$  برابر ۴/۹ به دست آمد که با به کارگیری رابطه (۵)



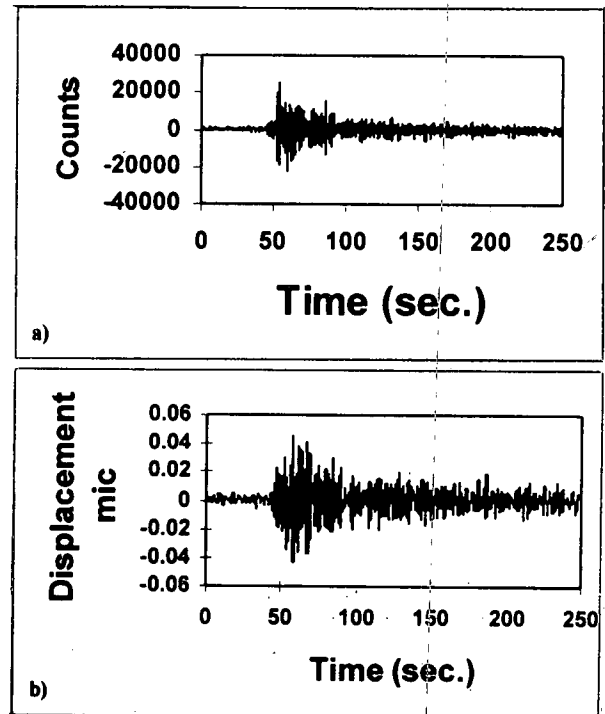
شکل ۶. مولفه قائم لرزه‌نگاشت بلند دوره ایستگاه ۱ ایلپا مربوط به انفجار هسته‌ای زیرزمینی ۲۸ مه ۱۹۹۸ پاکستان. (a) داده خام و (b) پس از اعمال یک صافی میان‌گذر  $0/03 \times 0/5$  هرتز و پنجره همینگ.

### ۳ برآورد قدرت انفجار ۲۸ مه ۱۹۹۸ پاکستان

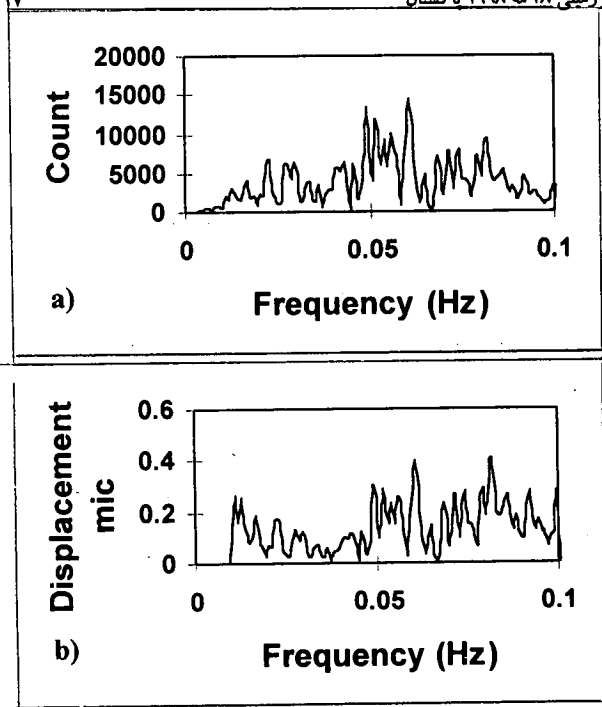
در این مطالعه از روابط (۵)، (۷)، (۱۰) و (۱۲) برای برآورد قدرت این انفجار استفاده شده است. مشخصات زمانی و مکانی این انفجار عبارت‌اند از: زمان انفجار  $10/2:16:00$ ، طول شرقی  $24^{\circ} 47' 64''$  و عرض شمالی  $54^{\circ} 00' 28''$  درجه (بانک و نورث، ۲۰۰۰). بنابراین، قدرت این انفجار از چهار روش لبرزه‌ای برآورد شد که عبارت‌اند از  $m_b$ ،  $M_{st}$  و  $M_{sf}$  که به آنها اشاره می‌شود.

### ۱-۳ استفاده از موج P

شکل ۶a مولفه قائم لرزه‌نگاشت دوره کوتاه ایستگاه ۱ ایلپا مربوط به انفجار ۲۸ مه ۱۹۹۸ پاکستان را قبل از حذف اثر دستگاه اندازه‌گیری نشان می‌دهد. به منظور حذف اثر دستگاه اندازه‌گیری از روی لرزه‌نگاشت‌های مولفه قائم کوتاه دوره ایستگاه‌های ایلپا،



شکل ۷. مولفه قائم لرزه‌نگاشت دوره کوتاه ایستگاه ۱ ایلپا مربوط به انفجار هسته‌ای زیرزمینی ۲۸ مه ۱۹۹۸ پاکستان. (a) قبل از حذف اثر سیستم اندازه‌گیری و حذف میزان تقویت اعمال شده. (b) پس از حذف اثر سیستم اندازه‌گیری و حذف میزان تقویت اعمال شده.



شکل ۸. طیف دامنه شکل (a) قبل از حذف اثر دستگاه اندازه گیری و  
(b) پس از حذف اثر دستگاه اندازه گیری و حذف میزان تقویت اعمال شده.

زیرزمینی با استفاده از روش‌های لرزه‌ای خطای تا  $\pm 20$  درصد مطلوب تلقی می‌شود (زیرا با استفاده از روش رادیوشیمیابی، نمونه‌های حاصل از محل و نوع انفجار هسته‌ای زیرزمینی، می‌توان قدرت انفجار را با حدود  $10 \pm$  درصد، تخمین زد، بشام و هورنر (۱۹۷۳)). بنابراین قدرت برآورد شده از چهار روش یادشده برای محیط‌های سخت بین ۱۱ تا ۱۷ کیلوتون تغییر می‌کند.

#### ۴ نتیجه‌گیری

لرزه‌نگاشت‌های آنالوگ مولفه قائم کوتاه دوره لرزه‌نگاشت‌های آنالوگ و رقیعی شده مولفه قائم بلند دوره ایستگاه‌های ۱، ۲ و ۳ ایلپا، مربوط به انفجارهای STS که قدرت آنها را ورجینو (۱۹۸۹)، ثوربر و همکاران (۱۹۹۳) و استیونس و مورفی (۲۰۰۱) گزارش کرده‌اند مورد بررسی قرار گرفت. با تعیین کمیت‌های لرزه‌ای موج P و موج ریلی این لرزه‌نگاشت‌ها مربوط به انفجارهای STS، چهار رابطه برای برآورد قدرت این انفجارها و کمیت‌های لرزه‌ای لرزه‌نگاشت‌های ایلپا تعیین شد و در برآورد

قدرت آن برای محیط‌های سخت برابر ۱۰ کیلوتون برآورد شد. با قرائت بیشینه دامنه فاز P مولفه قائم لرزه‌نگاشت‌های تصحیح شده کوتاه دوره ایستگاه ۱ ایلپا و به کارگیری رابطه (۷)، قدرت انفجار پاکستان برای محیط‌های سخت برابر ۱۶ کیلوتون برآورد شد.

#### ۲-۳ استفاده از موج ریلی

شکل ۷a مولفه قائم لرزه‌نگاشت بلند دوره ایستگاه ۱ ایلپا مربوط به انفجار هسته‌ای ۲۸ مه ۱۹۹۸ پاکستان را قبل از هرگونه پردازش نشان می‌دهد. از آنجا که نویه زمینه بر روی این لرزه‌نگاشت در محدوده انفجار زیاد است ابتدا یک صافی میان‌گذر  $0.03 / 0.05$  تا  $0.05 / 0.07$  هرتز سپس یک پنجره همینگ بر روی آن اعمال شد که نتیجه در شکل ۷b آورده شده است. برای محاسبه بزرگی موج ریلی در حیطه زمان مقدار  $2A$  برابر  $7/5$  و مقدار T برابر  $16$  ثانیه قرائت شد که با استفاده از رابطه (۹) مقدار  $M_{st}$  برابر  $3/22$  بدست آمد. با به کارگیری رابطه (۱۰) قدرت این انفجار از این راه، ۱۶ کیلوتون برآورد شد. برای محاسبه بزرگی در حیطه بسامد طیف دامنه شکل ۷b محاسبه شد که در شکل ۸a آورده شده است. با حذف اثر پاسخ دستگاه لرزه‌نگاری مولفه قائم بلند دوره ایستگاه ۱ ایلپا که از سوی سدیدخوی (۱۳۳۳) ارائه شده است و حذف اثر تقویت دستگاه از شکل ۸b حاصل شد که از این لرزه‌نگاشت، برای محاسبه بزرگی موج ریلی در حیطه بسامد استفاده شده است. محاسبات انجام شده در این مطالعه ضرایب (Δ)P(T) و (Δ)B(T) در رابطه (۱۱) در مورد انفجار ۲۸ مه ۱۹۹۸ پاکستان به ترتیب برابر  $1/14$  و  $-0.15 / 0.05$  و  $M_{sf}$  برابر  $3/57$  بدست آمد. با استفاده از رابطه (۱۲) قدرت انفجار هسته‌ای یادشده برای محیط‌های سخت، برابر ۱۴ کیلوتون برآورد شد.

با متوسط گیری مقدار قدرت برآورد شده از چهار روش فوق، قدرت انفجار پاکستان برای محیط‌های چشمبه انفجار گرانیت و نمک، برابر ۱۴ کیلوتون و برای محیط‌های آبرفت خشک و توف برابر ۱۳ کیلوتون برآورد شد. در برآورد قدرت انفجارهای هسته‌ای

## منابع

- جواهریان، ع. و سدید خوی، ا.، ۱۳۷۴، برآورد قدرت انفجارهای هسته‌ای زیرزمینی شرق قراحتان: ن. فیزیک زمین و فضا، ۲۲، ۲۰-۱۳.
- جواهریان، ع. و نوروزیان، ن.، ۱۳۷۳، برآورد قدرت انفجارهای هسته‌ای زیرزمینی شرق قراحتان با استفاده از دامنه موج P لرزه‌نگاشتهای کشور: ن. فیزیک زمین و فضا، ۲۱، ۱۰-۱.
- سدیدخوی، ا.، ۱۳۷۳، محاسبه  $M_0$  در حوزه بسامد: ن. فیزیک زمین و فضا، ۲۱، ۵۳-۳۰.
- نبی‌بیدهندی، م.، ۱۳۷۰، بررسی منحنی بزرگنمایی شبکه لرزه‌نگاری قم - ساوه - کرج (اری)، گزارش علمی شماره ۷۶ مؤسسه ژئوفیزیک دانشگاه.
- یعنی‌فرد، ف.، ۱۳۷۵، تحلیل پس‌لرزه‌های زمین‌لرزه منجیل - روبار (۳۱ خرداد ۱۳۶۹) براساس داده‌های رقمی ایلپا، پایان‌نامه کارشناسی ارشد ژئوفیزیک - مؤسسه ژئوفیزیک دانشگاه تهران.

Akasheh, B., Eshghi, I., and Soltanian, R., 1976, The Iranian Long Period Array (ILPA): J. Geophys., 42, 159-162.

Bache, T. C., 1982, Estimating the yield of underground nuclear explosions: Bull. Seism. Soc. Am., 72, s131-s168.

Basham, P. W., and Horner, R. B., 1973, Seismic magnitudes of underground nuclear explosions: Bull. Seism. Soc. Am., 63, 105-131.

Bolt, B. A., 1976, *Nuclear explosions and earthquakes, the parted Veil*: W. H. Freeman and Co.

Lay, T., and Wallace, T. C., 1995, *Modern global seismology*: Academic Press, Inc., San Diego.

Marshal, P. D., and Basham, P. W., 1972, Discrimination between earthquakes and underground explosions employing an improved  $M_s$  scale: Geophys. J. Roy. Astr. Soc., 28, 431-458.

Rezapour, M., and Pearce, R. G., 1998, Bias in surface-wave magnitude  $M_s$  due to inadequate distance corrections: Bull. Seism. Soc. Am., 88, 43-61.

قدرت انفجار ۲۸ مه ۱۹۹۸ پاکستان مورد استفاده قرار گرفت که نتایج آن بشرح زیر است.

۱- استفاده از روابط به دست آمده برای برآورد قدرت انفجارهای STS از ایستگاه‌های ایلپا مناسب‌تر از روابط جهانی برای برآورد قدرت انفجار ۲۸ مه ۱۹۹۸ پاکستان است.

۲- رابطه رضابور و پیرس (۱۹۹۸) مناسب‌تر از رابطه IASPEI برای محاسبه بزرگی موج ریلی در حیطه زمان انفجارهای STS از لرزه‌نگاشتهای ایلپا است.

۳- میانگین قدرت برآورد شده انفجار پاکستان با استفاده از موج P و موج ریلی برای محیط‌های سخت، برابر ۱۴ کیلوتون و برای محیط‌های آبرفت خشک و توف، برابر ۱۳ کیلوتون برآورد شد. با توجه به این که دقت برآورد قدرت انفجارهای هسته‌ای، در فاصله‌های دور، با استفاده از روش‌های لرزه‌ای تا  $\pm 20$  منطقی است بنابراین قدرت انفجار هسته‌ای پاکستان برای سنگ‌های سخت حدود ۱۱ تا ۱۷ و برای سنگ‌های سست، حدود ۱۰ تا ۱۶ کیلوتون برآورد می‌شود.

## تشکر و قدردانی

این مقاله در قالب طرح پژوهشی مصوب دانشگاه تهران به شماره ۶۰۱/۱۳۶۱ تحت نام برآورد قدرت انفجارهای هسته‌ای زیرزمینی هندوستان و پاکستان با استفاده از ثبت‌های لرزه‌نگاری کشور با اعتبارات پژوهشی دانشگاه تهران انجام شده است. از حوزه معاونت محترم پژوهشی دانشگاه تهران به این لحاظ تشکر می‌شود. از مرکز لرزه‌نگاری کشوری مؤسسه ژئوفیزیک و کارکنان این مرکز بهویژه آقای اردوان آریانی‌نژاد به خاطر در اختیار قرار دادن لرزه‌نگاشتهای مربوط به رخدادها تشکر و قدردانی می‌نماید.

- Sikka, S. K., Nair, G. J., Roy, F., Kakodkar, A., and Chidambaram, R., 2000, The recent Indian nuclear tests – A seismic overview: *Curr Sci*, **79**, 1359-1366.
- Stevens, J. L., and Murphy, J. R., 2001, Yield estimation from surface-wave amplitudes: *Pure Appl. Geophys.*, **158**, 2227-2251.
- Thurber, C. H., Quin, H. R., and Richards, P. G., 1993, Accurate locations of nuclear explosions in Balapan, Kazakhstan, 1987 to 1990: *Geophys. J. Letters*, **20**, 399-402.
- Veith, K. F., and Clawson, G. E., 1972, Magnitude from short-period p-wave data: *Bull. Seism. Soc. Am.*, **62**, 435- 452.
- Vergino, E. S., 1989, Soviet test yields: *EOS*, **70**, 1511-1525.
- Wallace, T. C., 1998, The May 1998 India and Pakistan nuclear tests: *Seismic Research Letters*, **69**, 386-393.
- Yang, X., North, R., and Romney, C., 2000, CMR Nuclear Explosion Database (Revision 3): CMR Technical Report CMR-00/16.